

DOI:10.14048/j.issn.1671-2579.2019.04.052

# 纳米碳酸钙对道路石油沥青流变特性的影响

杨仲尼, 李增杰, 李帅

(山东省交通规划设计院, 山东 济南 250031)

**摘要:** 该文评估了纳米碳酸钙作为改性剂, 对沥青的流变特性的影响。采用旋转薄膜烘箱(RTFO)和压力老化容器(PAV)分别模拟沥青的短期和长期老化。利用布氏旋转黏度(RV), 动态剪切流变仪(DSR)和弯曲梁流变仪(BBR)测试了纳米碳酸钙加入量对沥青流变性能的影响。采用多重应力蠕变回复试验(MSCR)对纳米碳酸钙改性沥青结合料高温抗车辙性能进行研究, 并采用线性振幅扫描(LAS)试验对纳米碳酸钙改性沥青的疲劳寿命进行了分析。黏度测试结果表明: 由于纳米碳酸钙的硬化效应, 使得沥青的黏度增大; DSR 和 BBR 试验结果表明: 纳米碳酸钙能够提高沥青的高温抗车辙性能, 而对沥青的低温性能影响不大; MSCR 结果表明: 纳米碳酸钙改善了沥青的弹性恢复性能、降低了不可恢复变形; LAS 试验结果表明: 添加纳米碳酸钙后, 沥青的抗疲劳性能有所降低。

**关键词:** 道路工程; 纳米碳酸钙; 改性沥青; 流变性能

中国生产的石油沥青具有蜡含量高、温度敏感性较大的特点, 导致沥青路面的高低温性能较差, 易发生车辙、开裂等路面病害。同时, 在如光、氧、水分等自然环境因素的影响下发生老化, 造成路面的抗疲劳性能降低, 减短其使用寿命。为了改善这种现状, 如橡胶类、树脂类等聚合物改性剂均用于石油沥青中, 以提高其路用性能, 且效果显著。但基于聚合物改性沥青昂贵的造价、复杂的改性工艺以及与石油沥青不融, 造成离析等弊端, 许多新型的改性剂被不断研发应用, 如纳米材料改性剂、硅藻土改性剂以及有机硅改性剂等。其中, 纳米碳酸钙改性剂的研究使用引起了国内外学者的广泛关注。

纳米碳酸钙是一种典型的纳米材料, 具有优良的补强能力、造价低、应用前景广泛, 在橡胶、造纸等产业中广泛应用。该文通过采用旋转黏度试验(RV)、动态剪切流变仪(DSR)、弯曲梁流变仪(BBR), 对 RTFO

老化和 PAV 长期老化后的纳米碳酸钙改性沥青进行流变特性研究, 并通过多重应力蠕变恢复试验(MSCR)研究其变形能力, 通过线性幅度扫描试验(LAS)研究其抗疲劳性能, 以更好地了解纳米碳酸钙作为一种改性剂对沥青性能的影响。

## 1 原材料及纳米碳酸钙改性沥青制备

### 1.1 原材料

选用两种沥青: ① 广泛用于美国路面的 PG 64—22 沥青; ② PG 76—22 沥青, 即苯乙烯丁二烯苯乙烯(SBS)改性沥青。沥青的性能等级根据 Superpave 规范确定。按照 JTGE20—2011《公路工程沥青及沥青混合料试验规程》的试验方法对沥青进行检测, 结果满足规范要求。纳米碳酸钙采用北京某公司产品, 该公司利用其先进的纳米粉体工业化制备技术, 通过复杂

- 
- [2] DB 61/T 1021—2016 橡胶沥青路面施工技术规范[S].
- [3] DB 61/T 912—2014 沥青玛蹄脂碎石路面施工技术规范[S].
- [4] 陈星.SAC13 沥青混合料抗老化性能试验研究和数值分析[D].吉林大学硕士学位论文, 2012.
- [5] 徐东, 王新宽, 陈博. 橡胶沥青混合料老化再生及其路用性能研究[J]. 武汉理工大学学报, 2012(10).
- [6] 朱秀丽. 沥青混合料老化性能的试验研究[D]. 吉林大学硕士学位论文, 2011.
- [7] 王伟. 橡胶沥青混合料高温性能研究[D]. 同济大学硕士学位论文, 2008.
- [8] 黄明, 黄卫东, 王伟. 橡胶沥青混合料高温性能评价方法的研究性能评价[C]. 2009 国际橡胶沥青大会中文论文集, 2009.

收稿日期: 2018—12—30

作者简介: 杨仲尼, 男, 硕士, E-mail: 86743510@qq.com

的技术手段,有效控制其化学反应和结晶过程,从而获得粒度小、分布均匀、高质量的纳米碳酸钙颗粒,技术指标见表1。

表1 纳米碳酸钙的主要技术指标

项目	单位	指标
外观		白色粉末
平均粒径	mm	10~30
比重		2.5~2.6
比表面积	$m^2/g$	$\geq 40$
白度	%	$\geq 90$
pH值		8.5~9.5
水分	%	0.4
$CaCO_3$ (已处理)	%	95
表面处理剂		复合处理剂

## 1.2 纳米碳酸钙改性沥青的制备

按照聚合物改性沥青的制备工艺,首先将基质沥青在160℃条件下软化至流动状态,按照沥青质量的5%和10%,缓慢加入纳米碳酸钙,添加过程大约在3 min之内完成。然后在剪切温度为163℃,剪切速率保持在1 500 r/min的条件下,进行改性沥青的制备。在剪切过程中,发现在混合阶段开始时,沥青体积膨胀,气泡浮在表面上。这是由于在投放改性剂的过程中,不可避免地会引入空气。当表面气泡全部消失,试样表面均匀、平整、类似镜面,即可停止剪切,一般需要进行15~30 min。此时制备的混合均匀的沥青即为纳米碳酸钙改性沥青。

## 2 纳米碳酸钙改性沥青的流变试验及其结果分析

### 2.1 旋转黏度试验

沥青黏度与沥青路面的力学行为密切相关,例如高温时沥青路面产生车辙程度的高低,与沥青的黏度有直接关系。同时,沥青的黏度还是反映其感温性能的一项技术指标。黏度越大,则其稳定性和耐久性越好,抗变形能力也越好。研究中使用135℃的旋转黏度来评估沥青的感温性能。按照AASHTO TP48规定的试验方法,在135℃下测量沥青黏结剂的旋转黏度,具体试验数据如表2所示。

表2结果表明:随着纳米碳酸钙含量的增加,不同

表2 不同纳米碳酸钙含量的旋转黏度

沥青种类	不同纳米碳酸钙含量(%) 的旋转黏度/(Pa·s)		
	0	5	10
PG 64—22	2.14	2.42	2.89
PG 76—22	1.68	1.84	2.13

沥青的旋转黏度随之增大。对于PG 64—22,当纳米碳酸钙含量为5%和10%时,其旋转黏度分别比0%含量时增加13.1%和35.0%;对于PG 76—22,其旋转黏度分别增加9.5%和26.8%,表明添加纳米碳酸钙能够显著提高沥青的黏度。虽然较高的黏度意味着在施工期间需要较高的拌和温度和压实温度,但测得的黏度值均满足Superpave规范规定的要求( $\leq 3 \text{ Pa} \cdot \text{s}$ )。这表明,即使加入10%纳米碳酸钙,两种类型沥青的黏度也满足施工要求。

### 2.2 动态剪切流变试验

采用DSR测定沥青在高温下的流变特性,用来评价其高温性能。通过在沥青上施加正弦应力,可测得沥青的复数剪切模量( $G^*$ )和相位角( $\delta$ )。然后采用复合剪切模量最大剪应力和最大剪应变的比值,能够表征沥青在重复剪切应力条件下的抗变形性能;相位角表征应力和应变之间的时间滞后。同时,依据SHRP的研究结果,选择车辙因子 $G^*/\sin\delta$ 值作为评价沥青高温性能的指标。 $G^*/\sin\delta$ 值越大表明沥青材料抵抗车辙的能力越强。

按照AASHTO TP5中规定的试验方法,原样以及TFOT老化后动态剪切试验均采用直径25 mm、厚度为1 mm的试样。对于由PG 64—22制备的样品,使用原始和RTFOT老化的沥青在64、70℃下测量 $G^*/\sin\delta$ 值。对于由PG 76—22制备的样品,原样使用82、88℃的测试温度,而RTFOT老化样品使用76、82℃两个较低温度。原样沥青及TFOT老化后沥青试验结果分别见表3、4。

表3 不同温度不同纳米碳酸钙掺量下原样沥青的车辙因子试验结果

沥青种类	温度/ ℃	不同纳米碳酸钙掺量(%) 下原样沥青的车辙因子/kPa		
		0	5	10
PG 64—22	64	1.47	1.76	2.19
	70	0.73	0.87	1.02
PG 76—22	82	1.04	1.17	1.38
	88	0.62	0.69	0.83

表4 不同温度不同纳米碳酸钙掺量下 RTFOT 老化后的车辙因子试验结果

沥青种类	温度/ ℃	不同纳米碳酸钙掺量(%)下 RTFOT 老化后沥青的车辙因子/kPa		
		0	5	10
PG 64—22	64	2.78	3.27	4.11
	70	1.26	1.49	1.98
PG 76—22	76	3.62	3.91	4.65
	82	2.18	2.35	2.56

由表3、4可知,无论老化条件如何,随着纳米碳酸钙掺量的增加, $G^*/\sin\delta$  不断增大。表明纳米碳酸钙改性沥青样品的  $G^*/\sin\delta$  值比原样沥青大,纳米碳酸钙能够提高沥青的  $G^*/\sin\delta$  值,因此在高温下具有更好的抗车辙能力。同时,由于加入纳米碳酸钙,抗车辙性的改善取决于沥青类型。具体而言,与 PG 76—22 沥青(SBS 沥青)相比,PG 64—22 沥青(基质沥青)的抗车辙性提高更加显著。

### 2.3 弯曲梁流变试验

采用 BBR 试验测定沥青在低温条件下的蠕变劲度和应力松弛方面的能力,分别采用蠕变劲度模量 S 和 m 值评价沥青的低温性能。蠕变劲度能够评价沥青抵抗恒定载荷的能力,m 值为荷载作用时劲度随时间的变化率,它们反映温度和时间对沥青低温流变性能的影响。

按照 AASHTO TP1 规范进行试验。然后将沥青样品进行老化处理。使用 AASHTO T—240 中的旋转薄膜烘箱(RTFOT)方法人工模拟沥青的短期老化。使用 AASHTO R—28 中规定的压力老化试验(PAV)模拟现场道路使用 10 年后沥青的长期老化。在  $-12$ 、 $-18$  ℃,60 s 的时间范围内,其 BBR 试验结果如表 5 所示。

表5 不同纳米碳酸钙掺量下 BBR 试验结果

沥青种类	纳米碳酸 钙含量/%	S 值/MPa		m 值	
		$-12$ ℃	$-18$ ℃	$-12$ ℃	$-18$ ℃
PG 64—22	0	142	332	0.382	0.325
	5	159	340	0.371	0.318
	10	203	396	0.336	0.299
PG 76—22	0	208	426	0.358	0.279
	5	215	440	0.350	0.260
	10	247	471	0.329	0.231

由表 5 可以发现:随着试验温度的升高,所有沥青试样的蠕变劲度模量都下降,而蠕变曲线的变化率却增加。同样,加入纳米碳酸钙后,纳米碳酸钙改性沥青的劲度模量 S 值均比原样沥青要大,且随着其含量的增加而增大;其蠕变曲线的变化率 m 值比原样沥青要小,且随着其含量的增加而减小。

同时,与原样沥青相比,纳米碳酸钙改性沥青显示出稍大的蠕变劲度以及较小的 m 值。当纳米碳酸钙含量为 5% 时,其变化很小,可以忽略不计,而当纳米碳酸钙含量达到 10% 时则变得明显。结果表明,纳米碳酸钙用量低于 10%,纳米碳酸钙改性沥青与原样沥青具有相似的低温能力。因此,纳米碳酸钙对沥青的低温性能影响不大。

### 2.4 多重应力蠕变恢复试验

美国采用该试验来评估沥青的可恢复和不可恢复变形,进而评价聚合物改性沥青的高温性能。与 SHRP 车辙参数相比,MSCR 试验结果与聚合物改性沥青的抗车辙性能有较好的相关性。且 MSCR 试验中应用较高的应力水平导致聚合物内部结构的破坏或重新排列,从而可以全面地评估聚合物改性沥青的性能。

按照 AASHTO TP70—13 中的规定,选择 3 种温度 58、64 和 70 ℃,PG 76—22 沥青试样在承受 1 s 的蠕变荷载后,随后在接下来的 9 s 内进行卸载。通常应用两个应力水平(0.1、3.2 MPa)进行试验。首先应用 0.1 MPa 的较低应力水平进行 10 个循环,接着在 3.2 MPa 的较高应力水平进行另外的 10 个循环。按照式(1)、(2)计算不可恢复蠕变柔量( $J_{nr}$ )和恢复百分比( $R$ ),试验结果见图 1~4。其中,不可恢复蠕变柔量表征在预设的荷载消除之后的不可恢复应变,恢复百分比只是指沥青材料回复原状的能力,它们都作为评估沥青材料的抗永久变形的指标。

$$J_{nr} = \frac{\gamma_p - \gamma_o}{\tau} \quad (1)$$

$$R = \frac{\gamma_p - \gamma_n}{\gamma_p - \gamma_o} \quad (2)$$

式中: $\gamma_o$  为循环开始时的剪切应变; $\gamma_p$  为 1 s 蠕变持续时间时的峰值应变; $\gamma_n$  为 9 s 后的不可恢复应变; $\tau$  为蠕变加载应力。

由图 1~4 可知: $J_{nr}$  和  $R$  值取决于试验温度和施加的应力。同时, $J_{nr}$  值随着温度和应力水平的增加而增加,而  $R$  值则与这两个因素呈负相关。这是由于沥青对温度十分敏感且在高温下更容易变形。

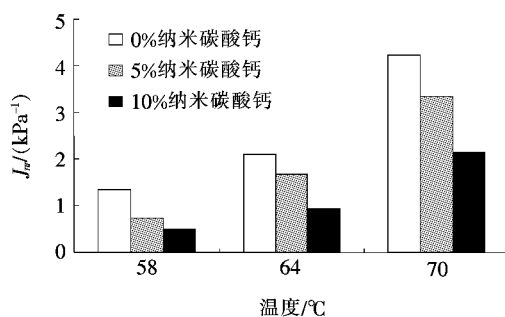
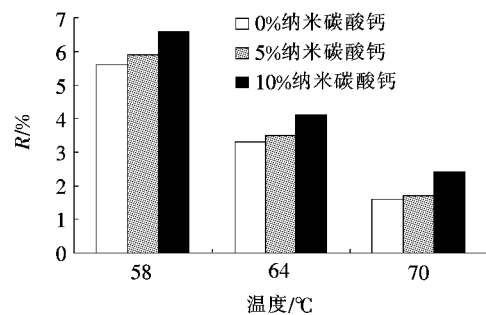
图1 0.1 MPa应力下不同温度的 $J_{nr}$ 结果

图2 0.1 MPa应力下不同温度的R结果

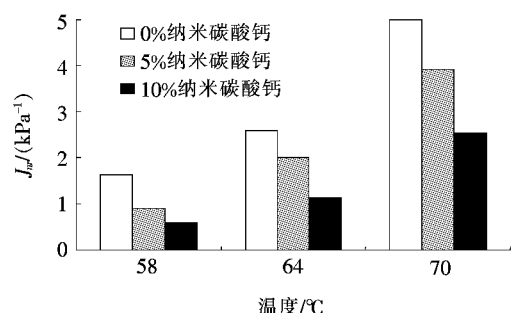
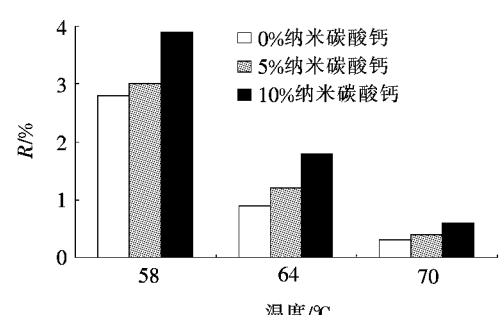
图3 3.2 MPa应力下不同温度的 $J_{nr}$ 结果

图4 3.2 MPa应力下不同温度的R结果

此外，在3种试验温度下，沥青试样在70 °C时的 $J_{nr}$ 值最大。原样沥青在每个试验温度和应力水平下，其 $J_{nr}$ 值最大，且随着纳米碳酸钙含量的增大而减小。这表明纳米碳酸钙改性沥青的抗车辙性能有所提高，这与使用SHRP车辙参数的结果一致。而对于恢复百分比R，纳米碳酸钙改性沥青比原样沥青要大，当纳

米碳酸钙含量为5%时表现不是特别明显。说明纳米碳酸钙的添加增加了沥青的弹性，变形恢复更多。

综合上述结果可知：纳米碳酸钙的存在增加了沥青的抗车辙能力，从而提高了高温稳定性。

## 2.5 线性振幅扫描试验

线性振幅扫描试验(LAS)是通过控制应变，对荷载进行全程扫描，与传统的时间扫描(TS)相比，试验过程简单易操作且时间可控，能够在短时间内预测沥青的疲劳损伤，进而得出其疲劳寿命，因此也称为快速疲劳试验。

LAS试验按照AASHTO TP101—14试验方法，采用DSR仪器，使用直径8 mm的标准平行板，平行板之间间隔2 mm。扫描时间一般为300 s，在这个时间段内，采用线性增加的方式增加荷载，其振幅范围为0.1%~30%。试验分两步进行，首先进行频率扫描测试，将沥青样品进行流变性能测试。在0.2~30 Hz的频率范围，对沥青样品施加具有0.1%幅度的应变载荷。在每个频率下，测量并记录动态剪切模量和相位角。然后，使用应变扫描来加载沥青样品，其中10 Hz频率用于振荡剪切加载。材料的损伤强度按照式(3)~(5)计算。

$$D(t_i) \cong \sum_{i=1}^N \left\{ \pi \gamma_0^2 [C(t_i) - C(t_{i-1})] \right\}^{\frac{a}{1+a}} \times (t_i - t_{i-1})^{\frac{1}{1+a}} \quad (3)$$

式中： $D(t)$ 为时间 $t$ 下的累积损伤强度，无量纲； $C(t)$ 为时间 $t$ 下的复数模量与初始复数模量的比值，定义为材料的完整性参数； $\gamma_0$ 为应变(%)； $t$ 为试验时间(s)； $a = m^{-1}$ ， $m$ 为频率和储存模量的拟合曲线斜率。

$$C(t) = C_0 - C_1 D(t)^{C_2} \quad (4)$$

式中： $C_0 = 1$ ； $C_1$ 和 $C_2$ 为拟合曲线的回归系数。

$$D_f = \left( \frac{C_0 - C_{\text{最大剪应力}}}{C_1} \right)^{1/C_2} \quad (5)$$

式中： $D_f$ 为最大剪应力下的累积损伤强度； $C_{\text{最大剪应力}}$ 为最大剪应力条件下对应的完整性参数。

图5为PAV老化后，PG 64—22的LAS测试结果。 $C$ 值等于1时，表示沥青为未损坏状态，零值表示沥青试样完全破坏。由图5可知，在相同的损伤条件下，未添加纳米碳酸钙的原样沥青具有最大的 $C$ 值，即该试样具有较高的完整性。随着纳米碳酸钙含量的增加， $C$ 值降低，表明纳米碳酸钙可降低沥青的抗疲劳损伤能力。

根据损伤强度公式，可采用式(6)、(7)推导出疲劳寿命 $N_f$ 。

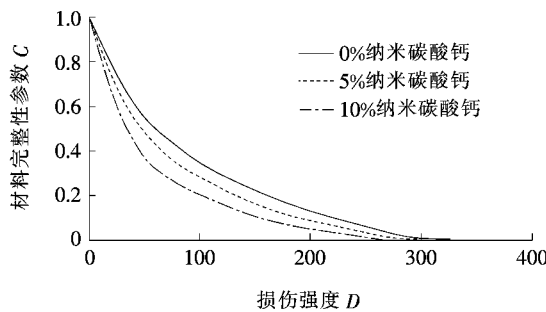


图5 PAV老化后,PG 64-22中损伤强度D和材料完整性参数C的关系

$$N_f = A (\gamma_{\max})^{-B} \quad (6)$$

$$A = \frac{f \times D_f \times [1 + (1 - C_2) \alpha]}{[1 + (1 - C_2) \alpha] \times (\pi C_1)^{\alpha}} \quad (7)$$

式中: $\gamma_{\max}$ 为最大施加应变; $f$ 为10 Hz的加载频率; $B=2\alpha$ 。

根据疲劳寿命方程,可计算出在不同应变水平下,不同掺量的纳米碳酸钙的疲劳寿命,试验结果见表6。

表6 不同应变水平下PG 64-22的疲劳寿命结果

沥青	应变水平/%	不同纳米碳酸钙掺量(%)下沥青的疲劳寿命/次		
		0	5	10
PG 64-22	5	19 800	16 300	11 900
	10	8 720	8 060	7 290

由表6可知:随着应变水平的增加,疲劳寿命( $N_f$ )值呈明显的下降趋势。同时,纳米碳酸钙含量也和疲劳寿命有较大的关联。具体表现为,随着纳米碳酸钙含量的增加,其疲劳寿命明显降低。在5%应变水平下,当纳米碳酸钙含量为5%和10%时,其疲劳寿命分别降低了17.7%和39.9%;在10%应变水平下,当纳米碳酸钙含量为5%和10%时,其疲劳寿命分别降低了7.6%和16.4%。同时,在较高的应变水平下,纳米碳酸钙含量为5%时,其疲劳寿命较原样沥青是显著下降的;而添加10%时,则减缓了这种下降趋势。因此,添加纳米碳酸钙可能会导致沥青结合料的疲劳寿命降低。分析原因为:① 纳米碳酸钙表面的开口空隙能够吸收沥青中的轻质组分,使得沥青趋于凝胶型;② 纳米颗粒对沥青的自由移动存在阻碍作用,使得沥青的黏度增大,趋于硬化。

### 3 结论

(1) 相比于原样沥青,添加纳米碳酸钙改性后,沥青黏度增大,且随着纳米碳酸钙含量的增大,黏度进一步增大。

(2) MSCR试验与DSR试验结果一致,表明纳米碳酸钙能够显著提高沥青胶结料的高温抗车辙性能,且随着纳米碳酸钙含量的增加,其改善效果更显著。

(3) 低温BBR试验结果表明,当纳米碳酸钙用量低于10%,纳米碳酸钙改性沥青与原样沥青具有相似的低温能力。因此,纳米碳酸钙对沥青的低温性能影响不大。

(4) LAS结果表明:添加纳米碳酸钙对沥青的抗疲劳性能有不利影响。在低应变水平下,随着纳米碳酸钙用量的增加,当纳米碳酸钙含量为5%和10%时,其疲劳寿命分别降低了17.7%和39.9%,而在高应变水平下的疲劳寿命变化不明显,当纳米碳酸钙含量为5%和10%时,其疲劳寿命分别降低了7.6%和16.4%。

### 参考文献:

- [1] 中华人民共和国交通部.“十三五”公路养护管理发展纲要[Z],2016.
- [2] 沈金安.沥青及沥青混合料路用性能[M].北京:人民交通出版社,2001.
- [3] 张登良.沥青路面工程手册[M].北京:人民交通出版社,2004.
- [4] 李诗琦,李闯民,陈桥.一种新型沥青混合料添加剂改性沥青混合料的路用性能试验研究[J].公路,2017(1).
- [5] 吴中华.橡胶粉改性沥青及混合料路用性能研究[D].浙江大学硕士学位论文,2013.
- [6] 杨光,申爱琴,陈志国,等.季冻区橡胶粉与SBS复合改性沥青混合料性能及改性机理[J].长安大学学报:自然科学版,2015(6).
- [7] JTGE20-2011 公路工程沥青及沥青混合料试验规程[S].
- [8] 樊向阳,罗蓉,冯光乐,等.抗车辙剂改性沥青的高温性能评价指标[J].武汉理工大学学报:交通科学与工程版,2017(4).
- [9] 叶青.基于粘弹性的沥青混合料疲劳性能研究[D].哈尔滨工业大学硕士学位论文,2016.